

長崎大学 正員 ○棚橋由彦
同 正員 伊勢田哲也

1. まえがき

近年道路工事の大規模化とともに、20~30mにあわる厚い軟弱地盤上に4m以上の高盛土を築造するケースが増えてきている。このような盛土は盛土築造中にすべり破壊を生じたり、破壊しないまでも交通開放後長時間にわたり沈下が継続する。道路本体の維持もさることながら、周辺地盤の沈下にともなう保障問題もからみ深刻な問題を引き起こしている。周辺地盤をも含めた二次元的・経時変形挙動の解析手法の確立は土質工学上の急務の問題であるが、その方面的研究は未だ数える程しかないのが現状である。本報告は上記の事情をふまえ、先に報告した弾塑性応力ひずみ時間関係式⁽¹⁾を有限要素法へ適用し、福岡県遠賀郡国道3号バイパスを対象に、現場の実測データと解析結果の比較検討により、その有用性を確かめたものである。

2. 弾塑性応力ひずみ時間関係式

弾塑性応力ひずみ時間関係式の誘導過程は先の報告⁽¹⁾に詳しいので、ここではFEM荷重増分法プログラムに組み込んだ平面ひずみ条件の増分式を掲げておく。(Y方向が平面ひずみ方向)

$$\{d\sigma\}^t = \mathbf{L}_p \mathbf{D}' \mathbf{L}_p^T \{d\varepsilon\} \quad (1)$$

ここに $\{d\sigma\} = \{d\sigma_x, d\sigma_z, d\tau_{xz}\}$, $\{d\varepsilon\} = \{d\varepsilon_x, d\varepsilon_z, d\gamma_{xz}\}$

$$\mathbf{L}_p = \begin{bmatrix} \cos^2\theta & \sin^2\theta & -2\sin\theta\cos\theta \\ \sin^2\theta & \cos^2\theta & 2\sin\theta\cos\theta \\ \sin\theta\cos\theta & -\sin\theta\cos\theta & \cos^2\theta - \sin^2\theta \end{bmatrix} \quad \begin{array}{l} \text{左式中の}\ \theta\ \text{は最大主応力増分軸がX軸と時計まわり} \\ \text{にはす角度であり、次式で与えられます。} \\ \theta = (1/2) \cdot \arctan \{ 2d\tau_{xz} / (d\sigma_x - d\sigma_z) \} \end{array}$$

$$\mathbf{D}' = \frac{1}{Q} \begin{bmatrix} P_{22} & -P_{12} & 0 \\ -P_{21} & P_{11} & 0 \\ 0 & 0 & Q/P_{33} \end{bmatrix}, \quad Q = \det \begin{bmatrix} P_{11} & P_{12} \\ P_{21} & P_{22} \end{bmatrix}, \quad \begin{array}{l} P_{11} = C_{11} - C_{12} \cdot C_{13} / C_{22} \\ P_{12} = C_{23} (1 - C_{12} / C_{22}) \\ P_{21} = C_{31} (1 - C_{23} / C_{22}) \\ P_{22} = C_{33} - C_{12} \cdot C_{23} / C_{22} \end{array}$$

$$\begin{array}{ll} C_{11} = \{(S_c + 3S_s) + \sqrt{2}S_d\}/9, & C_{23} = \{(2S_c - 3S_s) - 2\sqrt{2}S_d\}/18 \\ C_{22} = (S_c + 3S_s)/9, & C_{31} = \{(2S_c - 3S_s) + 2\sqrt{2}S_d\}/18 \\ C_{33} = \{(S_c + 3S_s) - \sqrt{2}S_d\}/9, & C_{12} = (2S_c - 3S_s)/18 \end{array} \quad \begin{array}{l} | \text{所要のパラメータ: } \kappa, \lambda, \mu, v, M_o, N_o \\ | \text{弾塑性パラメータ: } \kappa_c, \lambda_c, \mu_c, v_c, M_o, N_o \\ | \text{時間パラメータ: } m_c, m_d, m_s \\ | \text{寸法効果パラメータ: } n_c, n_d, n_s \end{array}$$

$$S_c = S_c^e + S_c^{vp} = \frac{1}{1+\epsilon} \cdot \frac{1}{P} [\kappa + (\lambda - \kappa)(t/t_{fc})^{mc}]$$

$$S_d = S_d^e + S_d^{vp} = \frac{1}{1+\epsilon} \cdot \frac{1}{P} [0 + \mu (t/t_{fd})^{1-md}] \quad (2)$$

$$S_s = S_s^e + S_s^{vp} = \frac{1}{P} [\nu + \frac{\mu}{1+\epsilon} \cdot \frac{N_o}{M_o - \eta} (t/t_{fs})^{1-ms}]$$

ただし上式中の間隙比 ϵ は次の漸化式に従う。 $\epsilon_i = \epsilon_{i-1} - d\epsilon(1+\epsilon_{i-1})$ また(2)式中の t_{fc}, t_{fd}, t_{fs} は次式で表わされる。 $t_{fc} = (H_e/H^*)^{n_c} \cdot t_f$, $t_{fd} = (H_e/H^*)^{n_d} \cdot t_f$, $t_{fs} = (H_e/H^*)^{n_s} \cdot t_f$
ここに H^* は供試体の有効排水距離, H_e は各要素の有効排水距離, t_f は室内試験における一荷重増分あたりの測定時間である。また(2)式中の P , η はこれを下式で与えようとする。

$$P = (\sigma_x + \sigma_y + \sigma_z)/3, \quad \eta = \{(\sigma_y - \sigma_x)^2 + (\sigma_z - \sigma_x)^2 + (\sigma_x - \sigma_y)^2 + 6(\tau_{xz}^2 + \tau_{zx}^2 + \tau_{xy}^2)\}^{1/2} / (\sigma_x + \sigma_y + \sigma_z) = 8/P$$

最後に降伏条件式は 壓密に対して $\xi = \xi_m$, せん断に対して $\eta = \eta_m$ (3). ここで $\xi = P/P_0$, T , 平均主応力 P を大気圧 P_0 で除して無次元量, η は正八面体応力比, ξ_m , η_m はそれぞれ ξ , η が現在までに経験した最大値である。したがって(2)式は $\xi = \xi_m$ かつ $d\xi > 0$ and $\eta = \eta_m$ かつ $d\eta > 0$ の場合の式であり, 多く ξ_m または $d\xi < 0$ のときは $S_c^{vp} = 0$, $\eta < \eta_m$ または $d\eta < 0$ のときは $S_d^{vp} = S_s^{vp} = 0$ を代入する。

3. 解析方法および条件

i) 土質諸特性 遠賀地区海成粘土の土性、および等方圧密試験と平均主应力-一定試験より求まる解析に所要のパラメータの値を表-1、表-2に示す。なお寸法効果パラメーターは今後実験的に決定されるべきもので、本解析では $n_c = n_d = n_s = 1.6$ と仮定した。

ii) 解析モデル

現場は深度 18~24m に亘る三層の粘土地盤で基盤は傾斜している。解析モデルを図-1に示す。図中の影線部分はサンドドレン処理区域を意味する。

iii) 解析方法 ドレン処理区域内の要素は平均有効排水距離と $H_e = (d_e - d_w)/4$ を採用した。

ここに d_e はドレン等価有効径、
 d_w はドレン径。ドレン区域外の要素は才近似としてドレン処理区域の端までの水平距離と、地表面までの鉛直距離を比較し、小さい方の値を要素の H_e とした。また粘土各層には資料⁽²⁾に基づき、各々異なる土性を与えている。なお道路盛土高は 3.9m で、盛土を 4 段に分け、各層分計算で経過時間を(2)式に代入し長時解析を行なっている。

表-1 試料土性 (深度 7~8m)

比重	γ_s	2.66
自然含水比	w_n	120~140 %
液性限界	w_L	143 %
塑性限界	w_p	38 %
塑性指数	I_p	105 %
液泡単位重量	γ_t	13.0~14.2 kN/m³
間隙比	e	3.20~3.60

表-2 所要パラメーター

弾性性 パラメーター	時間 パラメーター
$\lambda = 0.743$	$n_c = 0.470$
$\kappa = 0.029$	$n_d = 0.359$
$\mu = 0.536$	$n_s = 0.494$
$\nu = 0.051$	寸法効果 パラメーター
$M_o = 0.639$	$n_c = 1.6$
$N_o = 0.407$	$n_d = 1.6$
	$n_s = 1.6$

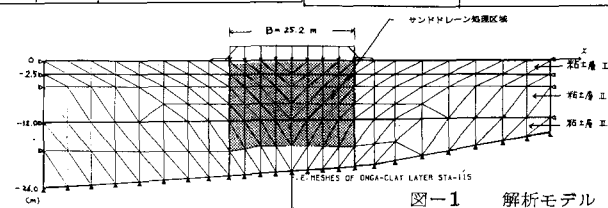


図-1 解析モデル

iv) 解析条件

解析したケースはまとめ表-3 に示す。

表-3 にみる如く印は対応するひずみ項を考慮、X印は対応する塑性ひずみ増分を neglect したこと意味している。CDS が基本計算で、変形の要因分析のためとの他のケースも計算している。例えば D S は圧密項=平均主应力増分 $\Delta \sigma$ に起因する塑性体積ひずみ増分 δv_p を neglect した計算を意味する。

4. 解析結果と考察

盛土センターにおける時間沈下量曲線を図-2 に示す。図中白丸を実線で結んだのが実測値、黒丸を実線で結んだのが FEM 計算値、細実線が慣用二次元圧密計算値である。FEM 計算値は両者の間に位置し、盛土施工開始から交通開放までの時点まで実測値と対応は良好である。また 8.51.8 月実測再開後の両者の曲線もほぼ平行であり、その差約 30cm が交通荷重による動的的沈下に起因するものと考えられる。図-3 は地盤変位図の一例である。図は 8.56.2 月時の CDS と DS の計算値をプロットしたものであり、その差が圧密項が変形に寄与した成分とみなせる。細数の都合で解析結果の詳細とその考察は当日会場で報告する予定である。なお計算には九大大型計算機センター FACOM M-200 を利用したことと附記する。

また末筆ながら資料⁽²⁾を提供頂いた建設省九州地建、基礎地盤コンサルタント他多くの方々に深謝の意を表します。

引用文献：(1) 横橋・伊勢田；第16回土質工学会研究発表会講演概要、5月、1981 (2) 建設省九州地建北九州国道工事事務所他；遠賀地区軟弱地盤検討業務報告書、1980

表-3 解析条件

記号	圧密項 (O)	ダイレタンシー項 (O)	せん断ひずみ項 (S)
C D S	O	O	O
C D	O	O	X
D S	X	O	O
C S	O	X	O
C	O	X	X
D	X	O	X
S	X	X	O

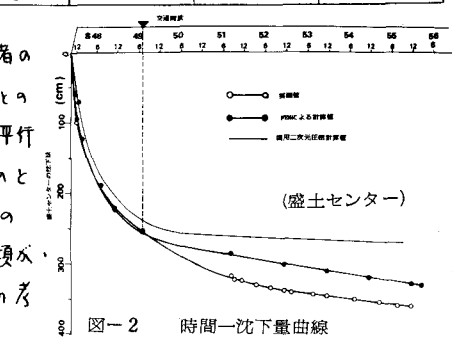


図-2 時間一沈下量曲線

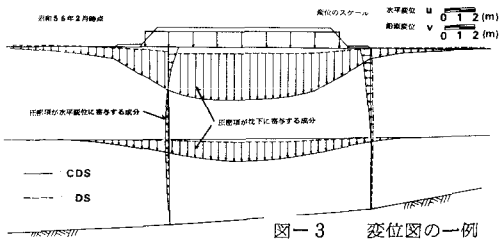


図-3 変位図の一例